

О ВЗАИМОДЕЙСТВИИ СИГНАЛА МОДИФИЦИРОВАННОЙ ФМ С ЧАСТОТНО-ИЗБИРАТЕЛЬНЫМИ УСТРОЙСТВАМИ

Введение

В работе [1, 2] предложен и частично исследован сигнал модифицированной ФМ с фазовыми врезками (ФВ), анализировались его потенциальные возможности для передачи цифровых потоков. Рассмотрим эти возможности детальнее.

Результаты работы

Сигнал модифицированной ФМ с $\pm\pi/2$ ФВ и возвратом к фазе можно записать в виде

$$S(t) = \begin{cases} \cos \omega_0 t & , 0 \leq t < \tau_0 \\ \pm \sin \omega_0 t & , \tau_0 \leq t < \tau_0 + \tau_u \\ \cos(\omega_0 t + \omega_0 \tau_u) & , \tau_0 + \tau_u \leq t \end{cases} \quad (1)$$

Здесь для простоты начальная фаза полагается равной нулю, ω_0 – частота несущей данного канала; τ_0 – длительность опорной части (ОЧ) позиции сигнала; τ_u – информационная часть, причем, знаки (+) и (-) соответствуют передачи «1» или «0»; начальная фаза $\omega_0 \tau_u$ в третьей строке обеспечивает возврат к фазе при переходе к следующей позиции.

В указанных работах отмечалось, что оптимальное выделение цифрового потока в этом случае требует применения частотно-селективных устройств (ЧСУ) либо с сосредоточенными параметрами (колебательный контур), либо с распределенными (резонатор). Отклики ЧСУ на гармонические сигналы с фазовыми скачками хорошо известны. Так, для сигнала со скачком фазы на φ_0 рад. в момент времени $t = 0$ комплексная огибающая имеет вид

$$\tilde{U}(t) = U_m \left[\sigma(-t) + e^{j\varphi_0} \sigma(t) \right], \quad (2)$$

где $\sigma(t)$ – функция включения

Тогда комплексная огибающая такого сигнала на выходе четырехполюсника с резонансным коэффициентом усиления $K_{рез}$ получается такой

$$\tilde{U}_{вых}(t) = -K_{рез} U_m \left[e^{-\frac{t}{\tau_k}} + e^{j\varphi_0} \left(1 - e^{-\frac{t}{\tau_k}} \right) \right]. \quad (3)$$

Соответственно физическая огибающая при $t > 0$ приобретает вид

$$U_{вых}(t) = K_{рез} U_m \left\{ \left[e^{-\frac{t}{\tau_k}} + \left(1 - e^{-\frac{t}{\tau_k}} \right) \cos \varphi_0 \right]^2 + \left(1 - e^{-\frac{t}{\tau_k}} \right)^2 \sin^2 \varphi_0 \right\}^{\frac{1}{2}}, \quad (4)$$

где τ_k – постоянная времени колебательного контура

$$\tau_k = \frac{2Q}{\omega_{рез}}. \quad (5)$$

В частности, для сигналов с π -скачком и $\pi/2$ -скачком получаем соответственно

$$U_{\text{вых}}(t)_{\pi} = K_{\text{рез}} U_m \left| 2e^{-\frac{t}{\tau_k}} - 1 \right| \quad (6)$$

$$U_{\text{вых}}(t)_{\pi/2} = K_{\text{рез}} U_m \left[1 + 2e^{-\frac{t}{\tau_k}} (e^{-\frac{t}{\tau_k}} - 1) \right]^{\frac{1}{2}} \quad (7)$$

В первом случае за счет инверсии фазы входного сигнала после скачка на π рад. огибающая обращается в нуль в момент времени $t_0 = 0,693\tau_k$, а во втором – огибающая приобретает размытый минимум в этой области. Т.е. если например, использовать в качестве ЧСУ колебательный контур с $Q = 100$, $\omega_{\text{рез}} = 2\pi \cdot 10^6$ Гц, то получается $\tau_k \approx 3,18 \cdot 10^{-5}$ с; $t_0 = 2,2 \cdot 10^{-5}$ с и на интервале от нуля до t_0 укладывается приблизительно 22 периода колебаний $N_0 = t_0 f_{\text{рез}}$. Таким образом, если фазовое возмущение длится 1...2 периода, то на состоянии колебаний в контуре это практически не отражается, тем более, что в момент перехода от предыдущей позиции к последующей фаза сигнала восстанавливается (возврат к фазе). Именно такой интервал ФВ использован в работе [2], т.е. $\tau_{\text{и}}$ в (1) следует выбирать из условия $T \leq \tau_{\text{и}} \leq 2T$, а $10T \leq \tau_0 \leq 20T$ в зависимости от свойств конкретного ЧСУ. Но при таком выборе длительности ФВ – $\tau_{\text{и}}$ распределение спектральной плотности должно быть очень размытым. Действительно, из общего выражения для спектра радиоимпульса длительностью τ (см. например, [3])

$$S(\omega) = \frac{U\tau}{2} \left[\frac{\sin \frac{\omega - \omega_0}{2} \tau}{\frac{\omega - \omega_0}{2} \tau} + \frac{\sin \frac{\omega + \omega_0}{2} \tau}{\frac{\omega + \omega_0}{2} \tau} \right] \quad (8)$$

при условии $\tau = T_0$ легко получить

$$S(\omega) = \frac{Uf}{\pi} * \frac{\sin \left(\pi \frac{f}{f_0} \right)}{f_0^2 - f^2} \quad (9)$$

Очевидно, спектральная плотность такого однопериодного радиоимпульса начинается с нуля в точке $f = 0$, проходит через максимум в точке $f = f_0$ и затем снова обращается в нуль в точке $f = 2f_0$, т.е. главный лепесток спектральной плотности занимает область шириной $2f_0$, а на уровне 0,7 приблизительно – f_0 , что хорошо соответствует результатам, полученным в [2]. Следует также учесть вклад опорной части ФВ длительностью τ_0 , который выражается интенсивной спектральной линией на частоте f_0 . Т.е. фурье-спектр такого сигнала представляет собой интенсивную линию для частоты несущей с практически симметричным шумоподобным пьедесталом, занимающим диапазон частот от нуля до $2f_0$. Разумеется, такую ширину канала в обычных условиях нельзя считать приемлемой и традиционные способы преобразования, усиления и детектирования в данном случае не подходят.

В [2] предложен вариант, основанный на сочетании квадратурности опорной и информационной частей данного сигнала с квадратурностью, например, токов в ветвях параллельного контура относительно внешнего напряжения в состоянии резонанса или напряжений на реактивных элементах последовательного контура относительно тока. В этом случае

релаксационный параметр контура (резонатора) τ_k вообще выводится из рассмотрения т.к. состояние колебаний в нем за время $\tau_n = T_0$ практически не изменяется. Соответственно, спектральный подход к описанию взаимодействия предложенного сигнала с контуром также ничего не дает.

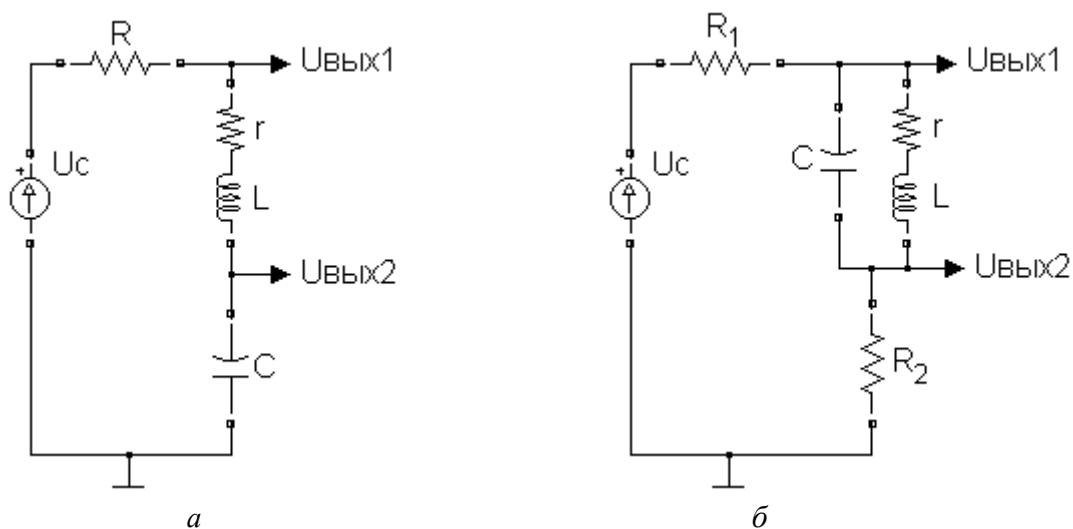


Рис. 1. Варианты использования колебательных контуров: *a* – последовательный; *б* – параллельный

Рассмотрим в качестве примера следующие варианты (рис. 1).

Для варианта *a* в состоянии резонанса при условии $R = r$ на выходе 1 получаем оба фрагмента сигнала – опорный и ФВ, причем амплитуда ФВ в 2 раза больше, чем опорной части. На выходе 2 имеем только опорный сигнал с амплитудой в $0,5Q$ раз больше U_c и фазовым сдвигом относительно U_c на $\pm\pi/2$ (в зависимости от последовательности включения $r \rightarrow L \rightarrow C$ или $C \rightarrow r \rightarrow L$). При расстройке на величину более $f_0/(2Q)$ на выходе 1 напряжения обоих фрагментов сигнала сравниваются – амплитуда опорной части «подтянется» до амплитуды ФВ, близкой к U_c , напряжение опорного сигнала на выходе 2 резко упадет, почти в Q раз, а его фаза приобретет дополнительный фазовый сдвиг почти $\pm\pi/2$ в зависимости от последовательности включения r, L, C . Таким образом сигналы опорных фрагментов на выходе 1 и на выходе 2 станут либо практически синфазными, либо противофазными. Увеличение добротности Q (например, уменьшение r) приведет к более резкому влиянию расстройки на описанные процессы. Если положить $R \ll r$, то на выходе 1 напряжения обоих фрагментов сигнала будут одинаковы и равны U_c для состояний резонанса и расстройки. На выходе 2 при резонансе напряжение опорного сигнала в Q раз больше U_c и сдвинуто относительно него на $\pi/2$. При расстройке оно уменьшается почти в Q раз и приобретает дополнительный фазовый сдвиг близкий к $\pm\pi/2$. Если же $R = \rho = rQ$ то для резонанса на выходе 1 напряжение опорной части (ОФ) сигнала будет очень мало – в Q раз меньше U_c , а напряжение ФВ – равно U_c . При расстройке напряжение опорной части «подтягивается» к $0,5U_c$, напряжение ФВ остается неизменным. На выходе 2 в резонансе имеем опорный сигнал напряжением U_c с фазовым сдвигом $\pi/2$, а при расстройке этот сигнал уменьшается до $0,5U_c$ и приобретает дополнительный фазовый сдвиг. Итак, для варианта *a*) получаем частотно-зависимый фазовращатель на $\pi/2$, причем, на выходе 1 в любом случае присутствует полный сигнал, а на выходе 2 – только непрерывный гармонический сигнал опорной части, без ФВ. При малых значениях R ($R \ll r$) амплитуды фрагментов ОЧ и ФВ одинаковы и при расстройке практически не изменяются, зато сигнал ОЧ с резонансным напряжением QU_c резко убывает при расстройке приблизительно в Q раз. При значениях $R \approx \rho$ на выходе 1 в резонансе максимально выделяется ФВ, а сигнал ОЧ практически отсутствует, т.е. ФМ максимально преобразуется в АМ. Расстройка в этом случае приводит к резкому увеличению напряжения ОЧ и АМ исчезает – ОЧ и ФВ

выравниваются по амплитуде. Однако, на выходе 2 изменения, вызываемые расстройкой сравнительно невелики – амплитуда ОЧ изменяется всего в два раза.

Для варианта б в состоянии резонанса при условии $R_1 = Q\rho$ и $R_2 = \rho$ на выходе 1 получаем только гармонический сигнал ОЧ напряжением $\approx 0,5U_c$, а на выходе 2 – полный сигнал (ОЧ + ФВ), причем, напряжение ФВ в два раза больше напряжения ОЧ (ФМ \rightarrow АМ). При расстройке сигнал ОЧ на выходе 1 резко падает (приблизительно в Q раз), а на выходе 2 полный сигнал увеличивается практически в два раза, амплитуды ОЧ и ФВ выравниваются, причем, этот сигнал приобретает фазовый сдвиг относительно U_c . При расстройке происходит выравнивание напряжений ОЧ и ФВ на общем уровне около $0,5U_c$. На выходе 1 при этом, очевидно, никаких изменений не происходит – присутствуют полный сигнал напряжением U_c . Таким образом, для варианта б) максимальное преобразование ФМ \rightarrow АМ реализуется при условии $R_1 = 0$, $R_2 = \rho Q$ на выходе 2, а максимальная селективность – при условии $R_1 = \rho Q$ на выходе 1 только для фрагмента ОЧ (без ФВ).

Для подтверждения приведенных положений оба варианта моделировались в среде MatLab, а полученные результаты приведены на рис. 2 – 4.

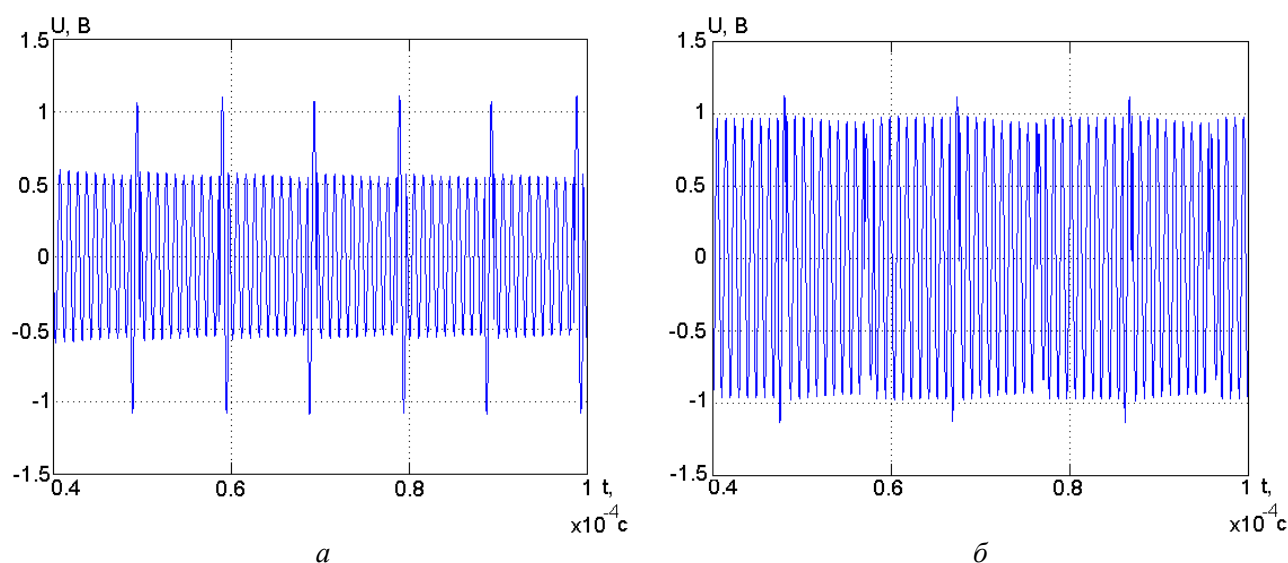


Рис. 2. Осциллограммы сигналов с Вых.1 последовательного контура при условии $R = \rho/Q = r$:
а – для частоты f_0 ; б – при расстройке 3 %

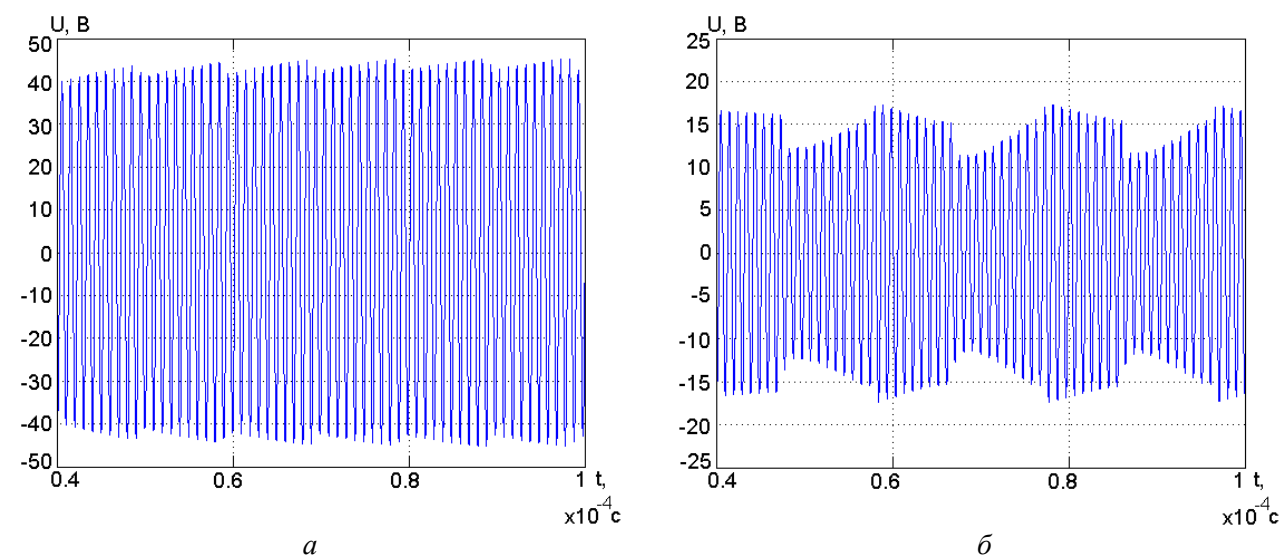
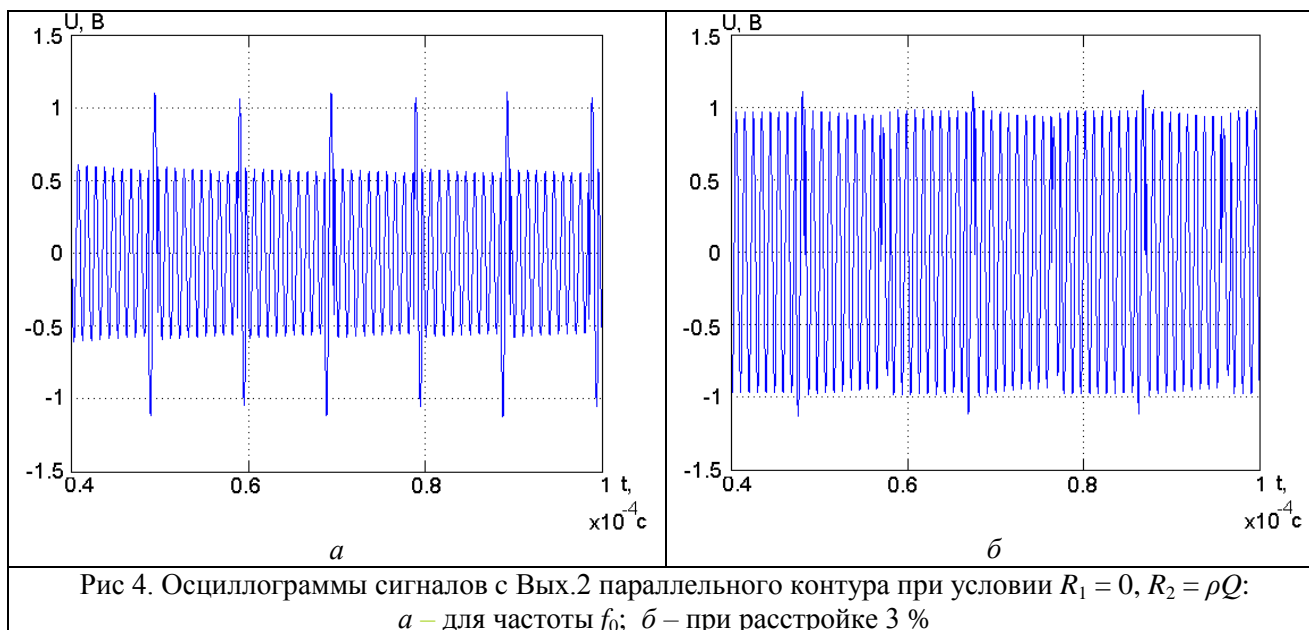


Рис. 3. Осциллограммы сигналов с Вых.2 последовательного контура:
а – для частоты f_0 ; б – при расстройке 3 %



Как видно из полученных результатов, вариант на рис. 1, *a* оказывается наиболее универсальным при условии, что $R = \rho/Q = r$ сигнал на выходе 1 для f_0 содержит ФВ, напряжение которой в два раза выше напряжения ОЧ. При расстройке напряжение обоих фрагментов практически сравнивается, т.е. сигнал на этом выходе удобно использовать для выделения и формирования тактовых сигналов (стробов) для выбранного канала. Сигнал на выходе 2 состоит только из ОЧ, находящейся в квадратуре со входным сигналом, и напряжение на этом выходе резко изменяется при расстройке, что позволяет использовать такой сигнал в качестве опорного. Кроме того, как известно, при расстройке происходит дополнительный поворот фазы, определяемый соотношением

$$\operatorname{tg} \varphi \approx Q \frac{2\Delta\omega}{\omega_0} \quad (10)$$

Для варианта на рис. 1, *б* приемлемые результаты получаются только при использовании выхода 2 и условии $R_1 = 0, R_2 = \rho Q$.

Как видно, в этом случае осциллограммы на рис. 2 и 4 практически совпадают и могут быть использованы с одной и той же целью – формирование тактовых импульсов выбранного канала.

Выводы

Проанализированы основные параметры сигнала модифицированной ФМ с $\pm\pi/2$ ФВ и возвратом к фазе. Определены оптимальные условия и варианты использования ЧСУ в режимах резонанса напряжений и токов для обеспечения максимальной селективности системы связи, использующей данный сигнал.

Список литературы: 1. Рязанцев, О.В., Кулик, М.В. О детектировании радиосигналов с модифицированной фазовой манипуляцией // Сб. науч. трудов ДГТУ. Технические науки. – 2010. – Вып. 2 (15). – С.72. 2. Рязанцев, О.В., Кулик, М.В., Сьянов, А.М. Цифровые сигналы с использованием фазовых врезок $\pm\pi/2$ и их некоторые особенности // Радиотехника. – 2011. – Вып. 167. – С. 143. 3. Баскаков, С.И. Радиотехнические цепи и сигналы. – М. : Высш. шк., 1983.

Днепродзержинский государственный
 технический университет

Поступила в редколлегию 28.08.2012